

九州大学 正員 山崎 健也

" 王員 考察 順

" 学生員の熊谷 伸一郎

1. 諸言

鉄筋コンクリート構造物では、コンクリートの乾燥収縮を防げるため、通常鉄筋には圧縮応力、コンクリートには引張応力を生じ、特に後者は軋裂や発生の危険をもたらすゆえ、その厳密な解析が必要である。ほりに関するては既に理論式が導かれて、設計においては一般に温度降下による換算して計算することが行われているが、鉄筋コンクリートスラブ（RCスラブと略す）の乾燥収縮応力については、これまで理論的に取りあつておらず研究例が極めて少ない。板・大車両だけ、鉄筋がスラブ厚さの中央に配置されているものと仮定して、クリープも考慮してR/Cスラブの自由収縮応力を求める実験解析法により求められているが、通常のスラブでは、コンクリート断面の重心と鉄筋断面の重心とが合致すると言う上記仮定は必ずしも成立しない。したがって断面内二次元応力に加えて曲げ応力を生じ、単鉄筋断面のように鉄筋の偏心率の大きい場合には、曲げ応力がはるかに卓越することとなる。

本研究は、一辺立が単純支持され他辺立が任意の境界条件を持つR/Cスラブについて、コンクリートの乾燥収縮とともに曲げ応力の算定式を導き、コンクリートに対する引張応力の危険度を数値計算により吟味検討したものである。

2. 基礎微分方程式の説明

図-1のごとく、相隣る二辺の長さをもとめると、
bで有効高さdのR/C矩形スラブを考える。有効高さの中央面（頭後基準面と称す）内で二辺にそって
x, y軸を、またこから直角にz軸をとり、鉄筋はx, y両軸に平行に配置されるものとする。

コンクリートについて、x, y方向の応力をy軸にそろめると、 σ_{cx}, σ_{cy} あるが、 E_{cx}, E_{cy} せん断応力とせん断ひずみを γ_{xy}, γ_{xy} 、コンクリートの自由収縮ひずみを S_m とすれば、次の応力-ひずみ関係式が成立する。

$$\sigma_{cx} = \frac{E_c}{1-\nu} \{ (\varepsilon_{cx} + S_m) + \nu (\varepsilon_{cy} + S_m) \}, \quad \sigma_{cy} = \frac{E_c}{1-\nu} \{ (\varepsilon_{cy} + S_m) + \nu (\varepsilon_{cx} + S_m) \}, \quad \gamma_{xy} = \frac{E_c}{2(1+\nu)} \gamma_{xy} \quad (1)$$

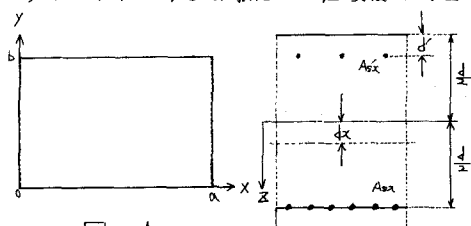


図-1

ここに、 E_c ：コンクリートの弾性係数 ν ：コンクリートのボアソン比

スラブのz方向のひずみを ε_z として、平面保持の仮定を用いれば、スラブの往復変（x, y, z）におけるx, y方向の直角ひずみ $\varepsilon_x, \varepsilon_y$ およびy-z面ひずみ ε_{xy} が次式にて表わされる。

$$\varepsilon_x = -(z - d_x) \frac{\partial w}{\partial x^2} - S_m, \quad \varepsilon_y = -(z - d_y) \frac{\partial w}{\partial y^2} - S_m, \quad \varepsilon_{xy} = -2(z - \frac{d_x + d_y}{2}) \frac{\partial^2 w}{\partial x \partial y} \quad (2)$$

ただし、 d_x, d_y はそれをもとめ、x, y軸に直角な断面の中立軸の座標である。

式(2)を用いて、x, y方向の引張鉄筋応力 $\sigma_{cx}, \sigma_{cy}, \sigma_{xy}$ あるが、せん断鉄筋応力 τ_{xy}, τ_{xy} を求めれば次の結果となる。

$$\begin{aligned} \sigma_{cx} &= E_s (\varepsilon_{cx})_{z=\frac{d}{2}}, & \sigma_{cy} &= E_s (\varepsilon_{cy})_{z=\frac{d}{2}}, & \tau_{xy} &= \frac{E_s}{2(1+\nu_3)} (\varepsilon_{xy})_{z=\frac{d}{2}} \\ \tau_{xy} &= E_s (\varepsilon_{xy})_{z=\frac{d}{2}+d_s}, & \sigma_{xy} &= E_s (\varepsilon_{xy})_{z=\frac{d}{2}+d_s}, & \tau_{xy}' &= \frac{E_s}{2(1+\nu_3)} (\varepsilon_{xy})_{z=\frac{d}{2}+d_s} \end{aligned} \quad (3)$$

ここで E_s : 鉄筋のヤング率, β_s : 鉄筋のボアソン比, d : 鉄筋の直径.

基準面に関するモーメントの釣合条件より、スラブのZ軸方向に垂直な断面の単位中当りの曲げモーメント M_{zx} およびねじりモーメント M_{xy} がそれぞれ次式のごとく求められる。

$$\left. \begin{aligned} M_{zx} &= \int_{A_c} \sigma_{cx} Z dA_c + \int_{Asx} \sigma_{sx} Z dA_{sx} + \int_{Asz} \sigma_{sz} Z dA_{sz} = -D_c \left(\frac{\partial^2 w}{\partial x^2} + \nu \frac{\partial^2 w}{\partial y^2} \right) - D_{sx} \frac{\partial^2 w}{\partial x^2} - G_{sx} S_m \\ M_{xy} &= - \int_{A_c} T_{cxy} Z dA_c - \int_{Asx} T_{sxy} Z dA_{sx} - \int_{Asz} T_{sy} Z dA_{sz} = (-\nu) D_c \frac{\partial^2 w}{\partial x \partial y} + D_{sx} \frac{\partial^2 w}{\partial x \partial y} \end{aligned} \right\} \quad (4)$$

ここで A_c : 単位中当りのコンクリート断面積, A_{sx} : 単位中当りのスラブ引張鉄筋断面積.

A_{sz} : 単位中当りのスラブ圧縮鉄筋断面積.

$$\left. \begin{aligned} D_c &= \frac{E_s d^3}{12(1-\nu)} , \quad D_{sx} = E_s \{ A_{sx} \left(\frac{d}{2} - d \right) + A_{sz} \left(\frac{d}{2} - d \right) \} \\ G_{sx} &= E_s \{ A_{sz} \left(\frac{d}{2} - A_{sx} \left(\frac{d}{2} - d \right) \right) \}, \quad D_{sy} = \frac{E_s}{1+\nu} \{ A_{sx} \left(\frac{d}{2} - \frac{d_{sy}+d_{sz}}{2} \right) + A_{sz} \left(\frac{d}{2} - d \right) \left(\frac{d_{sy}+d_{sz}}{2} \right) \} \end{aligned} \right\} \quad (5)$$

同様にして、スラブのY軸に垂直な断面の単位中当りの曲げモーメント M_{zy} およびねじりモーメント M_{xy} がそれぞれ次式にてえられる。

$$M_y = -D_c \left(\frac{\partial^2 w}{\partial y^2} + \nu \frac{\partial^2 w}{\partial x^2} \right) - D_{sy} \frac{\partial^2 w}{\partial y^2} - G_{sy} S_m , \quad M_{zy} = -(-\nu) D_c \frac{\partial^2 w}{\partial x \partial y} - D_{sy} \frac{\partial^2 w}{\partial x \partial y} , \quad (6)$$

ただし、 D_{sy} , G_{sy} および D_{zy} は式(5)にありてスラブYに置き換えたものである。

さて、スラブのZ方向の力の釣合条件より次式がえられる。

$$\frac{\partial^2 M_{zx}}{\partial x^2} + \frac{\partial^2 M_y}{\partial y^2} - \frac{\partial^2 M_{zy}}{\partial x \partial y} + \frac{\partial^2 M_{xy}}{\partial x \partial y} = 0$$

上式に式(4), (6)を代入すれば、コンクリートの乾燥収縮に起因するRCスラブのタラミ曲面の基準微分方程式が導かれる。途中演算を省略して結果のみ示せば次のとくである。

$$\beta_1 \frac{\partial^4 w}{\partial x^4} + \beta_2 \frac{\partial^4 w}{\partial y^4} + 2\beta_3 \frac{\partial^4 w}{\partial x \partial y^2} = 0 \quad (7)$$

$$\text{ただし } \beta_1 = D_c + D_{sx} , \quad \beta_2 = D_c + D_{sy} , \quad \beta_3 = D_c + \frac{1}{2} (D_{sx} + D_{sy}) ,$$

3. 一般解の説明

式(7)の解を次式で表わさるものと仮定する。

$$w = \sum_{m=1}^{\infty} Y_m \sin \frac{m\pi}{a} x + \sum_{n=1}^{\infty} X_n \sin \frac{n\pi}{b} y \quad (8)$$

ここで、 Y_m , X_n はそれ自身とのみの関数である。

式(8)と式(7)に代入すれば、それれぞれ Y_m , X_n に関する次の微分方程式が導かれる。

$$\beta_2 \frac{\partial^4 Y_m}{\partial y^4} - 2\beta_3 \frac{\partial^4 Y_m}{\partial x \partial y^2} + \beta_1 Y_m = 0 , \quad \beta_1 \frac{\partial^4 X_n}{\partial x^4} - 2\beta_3 \frac{\partial^4 X_n}{\partial x^2 \partial y^2} + \beta_2 X_n = 0 \quad (9)$$

式(9)の微分方程式は $\beta_1 - \beta_2 \beta_3$ の正負により異なる解を持つ。
通常使用される範囲の高さ、鉄筋比による状態よりもRCスラブにあっては常に $\beta_1 - \beta_2 \beta_3 < 0$ が成立するゆえ、次の式(10)の解のみを考えれば十分である。

$$\left. \begin{aligned} Y_m &= A_m \cosh \frac{k_1 \pi y}{b} \cos \frac{k_2 \pi x}{a} + B_m \cosh \frac{k_1 \pi y}{b} \sin \frac{k_2 \pi x}{a} + C_m \sinh \frac{k_1 \pi y}{b} \cos \frac{k_2 \pi x}{a} + D_m \sinh \frac{k_1 \pi y}{b} \sin \frac{k_2 \pi x}{a} \\ X_n &= E_n \cosh \frac{k_1 \pi x}{a} \cos \frac{k_2 \pi y}{b} + F_n \cosh \frac{k_1 \pi x}{a} \sin \frac{k_2 \pi y}{b} + G_n \sinh \frac{k_1 \pi x}{a} \cos \frac{k_2 \pi y}{b} + H_n \sinh \frac{k_1 \pi x}{a} \sin \frac{k_2 \pi y}{b} \end{aligned} \right\} \quad (10)$$

$$\text{ここで } k_1 = \sqrt{\frac{1}{2} (\beta_1 + \beta_3)} , \quad k_2 = \sqrt{\frac{1}{2} (\beta_1 - \beta_3)} , \quad M = \sqrt{\beta_1}$$

また A_m , B_m , C_m , D_m および E_n , F_n , G_n , H_n は境界条件によって定まる積分定数である。

式(8)を用いて式(2)の E_x, E_y, G_{xy} を算定し、これらを式(1), (3)に代入すれば荷重エッジリートおよび化鋼筋の軸荷重縮減率を求められる。

4. 一対正単純支持スラブの解法

図-1 のスラブの一対正 $x=0$ および $x=a$ が単純支持されるものとすれば、境界条件は次式にて表わされる。 $x=0, x=a$ 上で $w=0, \beta \frac{\partial^2 w}{\partial x^2} + G_{xy} S_m = 0$ (11)

式(8)を式(11)に代入すれば、未知の積分定数 E_m, F_m, G_m, H_m に関する多元連立一次方程式を得られこれを解いて上記の定数を容易に次のとく決定される。

$$\left. \begin{aligned} E_m &= 0, \quad F_m = \frac{+b^2 G_m S_m}{\pi^2 \sqrt{\beta_1 \beta_2 - B_0^2}} \frac{1}{m^3} \frac{\sinh k_1 B_m}{\cosh k_1 B_m + \cos k_1 B_m}, \quad F_m = -\frac{+b^2 G_m S_m}{\pi^2 \sqrt{\beta_1 \beta_2 - B_0^2}} \frac{1}{m^3} \\ G_m &= \frac{+b^2 G_m S_m}{\pi^2 \sqrt{\beta_1 \beta_2 - B_0^2}} \frac{1}{m^3} \frac{\cosh k_1 B_m}{\cosh k_1 B_m + \cos k_1 B_m} \quad F_m = -1, \quad B_m = \frac{\pi m}{b}, \quad m = 1, 3, 5, \dots \end{aligned} \right\} \quad (12)$$

残りの積分定数 A_m, B_m, C_m, D_m は他に $y=0, y=b$ における境界条件より以下のごとく求められる。

(i) $y=0, y=b$ が単純支障の場合

境界条件は $y=0, y=b$ 上で $w=0, \beta \frac{\partial^2 w}{\partial y^2} + G_{xy} S_m = 0$ 。よって式(12)と全く同様にして次の結果を得る。

$$\left. \begin{aligned} A_m &= 0, \quad B_m = \frac{+a^2 G_m S_m}{\pi^2 \sqrt{\beta_1 \beta_2 - B_0^2}} \frac{1}{m^3} \frac{\sinh k_2 B_m}{\cosh k_2 B_m + \cos k_2 B_m}, \quad D_m = -\frac{+a^2 G_m S_m}{\pi^2 \sqrt{\beta_1 \beta_2 - B_0^2}} \frac{1}{m^3} \\ C_m &= \frac{+a^2 G_m S_m}{\pi^2 \sqrt{\beta_1 \beta_2 - B_0^2}} \frac{1}{m^3} \frac{\cosh k_2 B_m}{\cosh k_2 B_m + \cos k_2 B_m} \quad F_m = -1, \quad C_m = \frac{\pi m}{a} b, \quad m = 1, 3, 5, \dots \end{aligned} \right\} \quad (13)$$

(ii) $y=0, y=b$ が固定の場合

この場合は(i)のごとく A_m, B_m, C_m, D_m を独立に求めることはできない。先ず4個の境界条件より次式が得られる。

$$(W)_{y=0} = 0 \text{ 且て } A_m = 0, \quad (W)_{y=b} = 0 \text{ 且て } B_m \cosh k_2 B_m \sinh k_2 B_m + C_m \sinh k_2 B_m \cosh k_2 B_m + D_m \sinh k_2 B_m \sinh k_2 B_m = 0 \quad (14)_a$$

$$\left(\frac{\partial W}{\partial y} \right)_{y=0} = 0 \text{ 且て } \sum_{n=1}^{\infty} \left(\frac{d Y_n}{dy} \right)_{y=0} \sinh \frac{n\pi y}{a} X_m + \sum_{n=1}^{\infty} \left(\frac{d Y_n}{dy} \right)_{y=b} X_m = 0, \quad \left(\frac{\partial W}{\partial y} \right)_{y=b} = 0 \text{ 且て } \sum_{n=1}^{\infty} \left(\frac{d Y_n}{dy} \right)_{y=b} \sinh \frac{n\pi y}{a} X_m - \sum_{n=1}^{\infty} \left(\frac{d Y_n}{dy} \right)_{y=0} X_m = 0 \quad (14)_b$$

式(14)_aに含まれる $\sum_{n=1}^{\infty} \left(\frac{d Y_n}{dy} \right)_{y=0} X_m$ を正弦 Fourier 級数に展開すれば次式のごとくである。

$$\sum_{n=1}^{\infty} \left(\frac{d Y_n}{dy} \right)_{y=0} X_m = \frac{R_m}{a} \sum_{n=1, 3, 5, \dots} \frac{R_m}{m} \sin \frac{n\pi y}{a} X_m, \quad \therefore \text{ すなはち } R_m = \frac{+a^2 G_m S_m}{\pi^2 \sqrt{\beta_1 \beta_2 - B_0^2}} \frac{1}{m^3} \frac{k_2 \sinh k_2 B_m - k_2 \cosh k_2 B_m}{\cosh k_2 B_m + \cos k_2 B_m}.$$

1. 下加へて式(14)_bより B_m, C_m, D_m に関する次の連立一次方程式を導かう。

$$B_m \cdot R_m + C_m \cdot R_m + D_m \cdot R_m = 0 \quad (14)_c$$

$$B_m (k_2 \sinh k_2 B_m + k_2 \cosh k_2 B_m \cos k_2 B_m) + C_m (k_2 \cosh k_2 B_m - k_2 \sinh k_2 B_m) + D_m (k_2 \cosh k_2 B_m \sinh k_2 B_m + k_2 \sinh k_2 B_m \cos k_2 B_m) - R_m / m^3 = 0 \quad \left. \right\}$$

(14)_a, (14)_cを連立して解けば、結局所要の積分定数を次のとく決定される。

$$A_m = 0, \quad B_m = \frac{-a^2 G_m S_m}{\pi^2 \sqrt{\beta_1 \beta_2 - B_0^2}} \frac{1}{m^3} \frac{\sinh k_2 B_m}{\cosh k_2 B_m + \cos k_2 B_m} \times \left(-\frac{1}{m^3} \frac{k_2 \sinh k_2 B_m - k_2 \cosh k_2 B_m}{k_2 \cosh k_2 B_m + k_2 \sinh k_2 B_m} \right), \quad ?$$

$$C_m = \frac{-a^2 G_m S_m}{\pi^2 \sqrt{\beta_1 \beta_2 - B_0^2}} \frac{1}{m^3} \frac{\cosh k_2 B_m}{\cosh k_2 B_m + \cos k_2 B_m} \times \left(-\frac{1}{m^3} \frac{k_2 \sinh k_2 B_m - k_2 \cosh k_2 B_m}{k_2 \cosh k_2 B_m + k_2 \sinh k_2 B_m} \right), \quad D_m = -\frac{+a^2 G_m S_m}{\pi^2 \sqrt{\beta_1 \beta_2 - B_0^2}} \frac{1}{m^3} \times \left(-\frac{1}{m^3} \frac{k_2 \sinh k_2 B_m - k_2 \cosh k_2 B_m}{k_2 \cosh k_2 B_m + k_2 \sinh k_2 B_m} \right) \quad (14)_d$$

(iii) $y=0, y=b$ が自由の場合

境界条件は次式で与えられる。

$$\beta_2 \frac{\partial w}{\partial z} + \gamma D_0 \frac{\partial^2 w}{\partial z^2} + G_y S_m = 0, \quad \beta_2 \frac{\partial^2 w}{\partial z^2} + 2D_0 - \beta_2 \frac{\partial^2 w}{\partial z^2} = 0 \quad (16)$$

この場合も μ_m, β_m, C_m, S_m を独立に求めることはできます。然し同様の手順を踏むこととなる。結果は省略する。

5. 計算例

有効高さ $d=30$ で回正か単純支持される正方形スラブの乾燥収縮下のみみずれ応力を求めてみる。配筋は単鉄筋で上下方向の鉄筋量が等しいものとし、コンクリートおよび鉄筋の弾性定数は次値を用いることとする。

コンクリート: $E_c=21 \times 10^5 \text{ kg/cm}^2, \nu=0.15$

鉄筋: $E_s=21 \times 10^5 \text{ kg/cm}^2, \nu_s=0.3$

式(12), (13)の積分定数を用い、鉄筋比 $A_s/A_c=3\%$ の場合のひずみ変形 ϵ による荷重れば、図-2の結果を得る。また式(1), (2)より同一鉄筋比のスラブ下端のコンクリート引張応力を算定し、その分佈の様子を示すのが図-3である。図-3よりコンクリートの引張応力はスラブ中央部よりも端部で大きめ値をもつことが明らかであり、例えば $S_m=30 \times 10^5$ とすれば最大引張応力は $\pm 7 \text{ kg/cm}^2$ に達する。しかし 3% と言ふ鉄筋比は太いスラブとしては、ほんとは过大といふ値であり、これを 2%, 1%, 0.5%, と減らして計算すれば、それぞれ $(\sigma_{ax})_{max}=22.9 \text{ kg/cm}^2, 14 \text{ kg/cm}^2, 8 \text{ kg/cm}^2$ となる。また σ_a を測定するには断面区間鉄筋に対する効果があり、例えば $A_b/A_c=3\%$, $A_s/A_c=1\%$ のスラブでは $(\sigma_{ax})_{max}=18 \text{ kg/cm}^2$ となる。

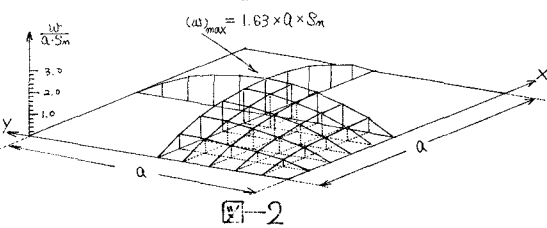


図-2

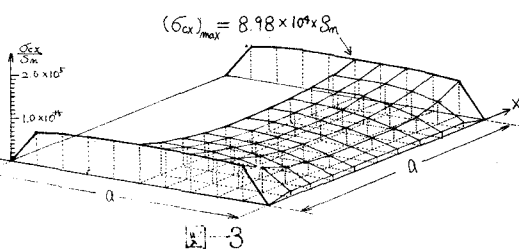


図-3

6. 結語

本研究の結果、乾燥収縮を受けたスラブでは、スパン中央部より境界付近のコンクリートにひびきや引き裂きの引張応力の生ずることが明らかとなつた。しかしコンクリートの自由収縮ひずみ S_m は一般的の範囲の誤差でおおむね、クリアアンドセルの場合は時間知覚を考慮すれば引張応力の本體の計算値よりある程度小さくなるものと考えられ、これについても将來研究中である。

[参考文献] 小坂静雄、大東照：コンクリートの三次元クリープと開拓理論的研究、日本建築学会論文報告集、第14号。

昭和36年6月